绝密★启用前

海南省2024—2025学年高三学业水平诊断(四)

地　理

考生注意:

1. 答题前,考生务必将自己的姓名、考生号填写在试卷和答题卡上,并将考生号条形码粘贴在答题卡上的指定位置。
2. 回答选择题时,选出每小题答案后,用铅笔把答题卡对应题目的答案标号涂黑。如需改动,用橡皮擦干净后,再选涂其他答案标号。回答非选择题时,将答案写在答题卡上。写在本试卷上无效。
3. 考试结束后,将本试卷和答题卡一并交回。

一、选择题:本题共15小题,每小题3分,共45分。在每小题给出的四个选项中,只有一项是符合题目要求的。

武汉城市圈是指由湖北省内以武汉为核心的九个城市所组成的城市圈。近年来武汉城市圈内开通多条高速铁路,劳动力流动总量显著增加,武汉市的辐射范围显著扩大。图1为武汉城市圈城际铁路通勤时间示意图。据此完成1~2题。

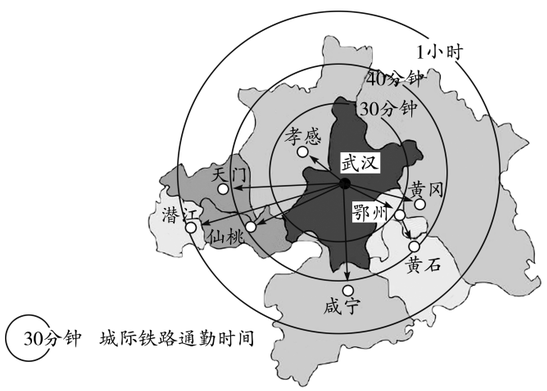


图1

1. 近年来武汉市的辐射范围显著扩大主要得益于

A. 工业的集聚程度增强　　B. 地理位置的优越性突出

C. 劳动力流动总量增加　　D. 区域交通通达度提高

2. 武汉市辐射范围扩大,受益最大的城市是

A. 咸宁　　B. 孝感

C. 潜江　　D. 仙桃

三圈环流是指受太阳辐射对高低纬度的加热不均和地转偏向力影响所形成的环流圈,它是大气环流的理想模式。在学习三圈环流过程中,小明同学绘制了三圈环流局部示意图(如图2)。据此完成3~4题。

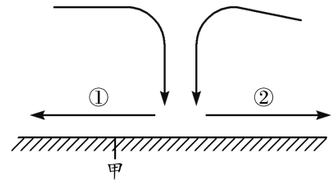


图2

3. 当甲地纬度为30°S且①为偏南风时,地中海沿岸地区

A. 高温多雨　　B. 炎热干燥

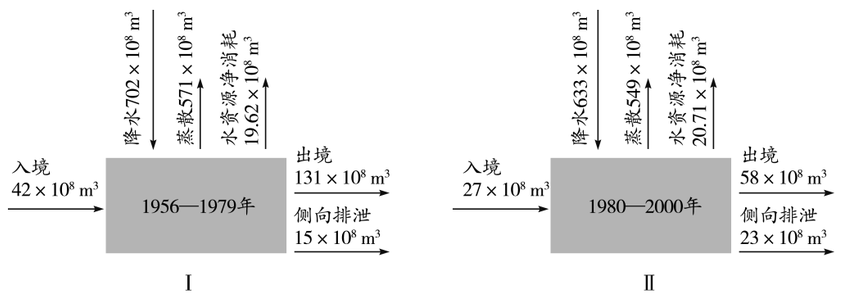
C. 温和多雨　　D. 温和少雨

4. 当甲地纬度为80°N时,①与②的风向分别为

A. 东北风、东北风　　B. 东北风、西南风

C. 西北风、东北风　　D. 西北风、西南风

径流和地下水水位变化是诊断区域水平衡状态的指示器。京津冀山区是京津冀主要产水区,也是平原的重要生态屏障和水源涵养区。1956年以来,修建水库、植树造林和开采地下水等人类活动,影响了京津冀山区的水循环,特别是20世纪80年代以后,水库向下游供水量不断增加,山区实际径流量减少。图3示意京津冀山区不同时期主要水平衡通量变化。据此完成5~6题。



注: 侧向排泄是指山区地下水以水平流动的形式向平原区排泄。

图3

县(市、区)_____　班级_____　姓名_____　考场号_____　座位号_____

装　订　线

5. 相较于阶段Ⅰ,阶段Ⅱ京津冀山区侧向排泄量增加的主要原因是

A. 入境水量减少　　B. 山前平原区水位下降

C. 蒸散量减少　　D. 山区地下水开采增加

6. 下列措施中能提高京津冀山区水资源可持续性但可能会加剧京津冀地区用水矛盾的是

A. 推行跨流域调水,补充山区水源　　B. 合理控制地下水开采,恢复含水层储量

C. 优化种植结构,推广低耗水作物　　D. 拆除部分水库,恢复自然径流过程

洋浦保税港区毗邻东盟贸易区,是“海上东盟”的重要枢纽。图4为洋浦港位置示意图。据此完成7~8题。

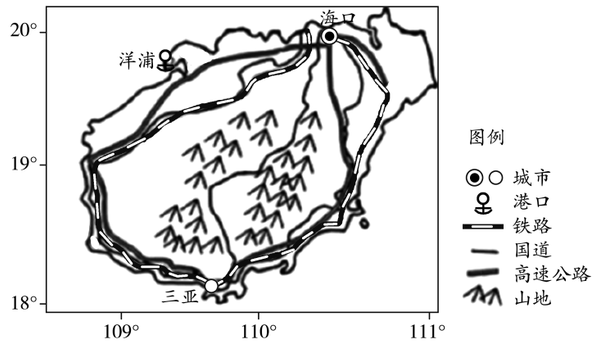


图4

7. 推测洋浦港港口建设的有利自然条件是

A. 海岸线平直　　B. 不受台风影响

C. 降水丰富　　D. 港阔水深

8. 洋浦港作为“海上东盟”的重要枢纽,有利于

A. 促进我国与欧洲的贸易往来　　B. 提升我国在亚太地区的海运地位

C. 推动我国与非洲的经济合作　　D. 加强我国与南美洲的文化交流

天然气水合物俗称“可燃冰”,是一种类冰状结晶物质,其稳定性受温度和压力等因素影响,如果所受压力减小,则会分解,释放甲烷等气体。贝加尔湖是全球最深的淡水湖,湖底沉积物中存在大量天然气水合物。安加拉河是唯一一条从贝加尔湖流出的河流,1958年,位于安加拉河的伊尔库茨克水电站建成并蓄水,而后贝加尔湖的甲烷释放量减少。据此完成9~10题。

9. 贝加尔湖对周边区域的支撑服务功能主要表现在

A. 涵养水源　　B. 净化空气

C. 维持生物多样性　　D. 提供渔业资源

10. 伊尔库茨克水电站建成后,贝加尔湖甲烷释放量减少的主要原因是贝加尔湖

A. 水位升高　　B. 结冰期延长

C. 含沙量下降　　D. 沉积物减少

海拔较高的山地由山麓向上通常会布局不同的农业类型,图5示意南美洲安第斯山垂直农业带分布。据此完成11~12题。

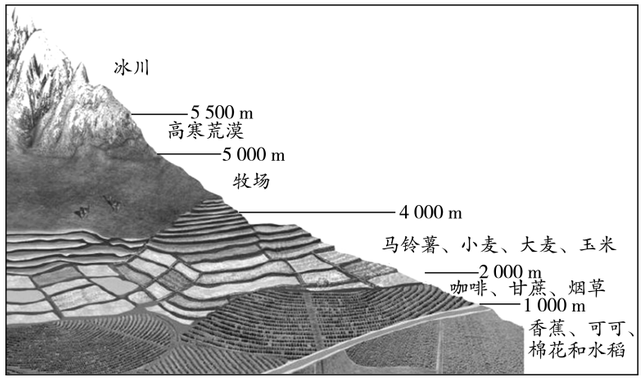


图5

11. 影响该山地粮食作物和经济作物布局差异的主要因素是

A. 人类活动　　B. 作物习性

C. 地形坡度　　D. 作物产量

12. 该山地牧场区域

A. 光照不足　　B. 草场常绿

C. 土层深厚　　D. 降水较少

太阳高度具有明显的日变化和年内变化。图6示意我国某城市年内逐日每小时太阳高度变化。据此完成13~15题。

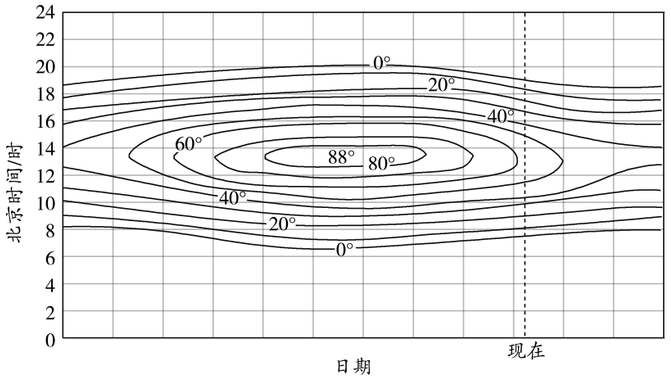


图6

13. 该城市最可能是

A. 贵阳　　B. 大连

C. 海口　　D. 北京

14. 从“现在”开始的一个月内，该地

A. 日出方位逐渐偏北　　B. 昼长时间逐日变短

C. 日落时间逐渐推迟　　D. 最高气温逐日下降

15. 若地球自转速度加快，则图中

A. 正午太阳高度最大值变大　　B. 正午太阳高度最大值变小

C. 0°等值线两线间的间距变窄　　D. 0°等值线两线间的间距变宽

二、非选择题：本题共 4 小题，共 55 分。

16. 阅读图文材料，完成下列要求。（10 分）

太平洋东西部海表温度距平变化会直接影响副热带高压的势力变化。图 7 为某年太平洋水温距平分布图，该年我国东部地区降水较往年偏多，且出现了北涝南旱，登陆的台风数量也较往年偏多。

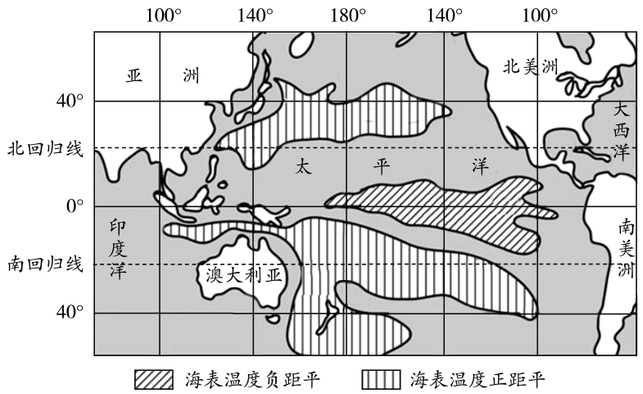


图 7

结合海—气相互作用说明该年我国气候异常现象的成因。

17. 阅读材料，完成下列要求。（10 分）

20 世纪 50 年代至 80 年代中期，咸海周边粮棉生产过度引水灌溉，导致湖水盐度超警戒值 5 倍，湖床裸露面积达 90%，盐尘暴频发。监测显示，盐尘暴扩散至我国新疆伊犁河谷，导致 10 万亩农田盐渍化，棉花减产 30%。

简述咸海跨境污染对我国的影响，并从协同治理机制角度对咸海跨境污染提出针对性治理措施。

18. 阅读图文材料，完成下列要求。（15 分）

中沙群岛地理环境独特，鱼类资源丰富，是一个渔业资源待开发的海域。中沙海台在垂直方向上盐度变化较小，适宜发展海洋渔业，而中沙南海盆、海槽海域表层与底层温盐结构差异较大。图 8 示意中沙海台及附近海域等深线分布。

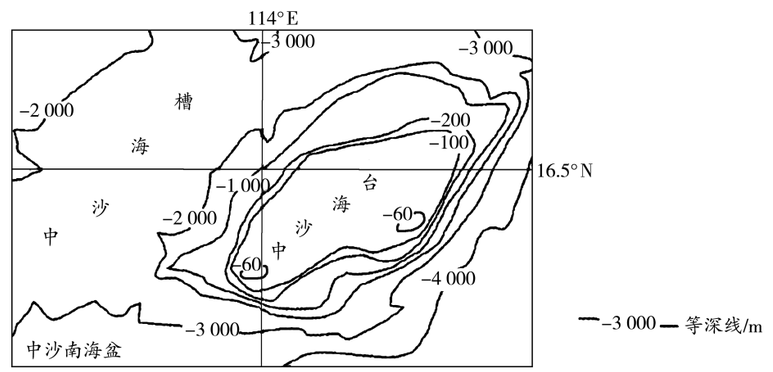


图 8

(1)推测我国在中沙群岛开发渔业资源可能面临的挑战。(6 分)

(2)从海洋权益与国家安全的角度,说明我国开发中沙群岛渔业资源的必要性。(9 分)

19. 阅读图文材料,完成下列要求。(20 分)

餐饮店铺空间分布与城市整体格局密切相关。武昌区是武汉市长江南岸的核心行政区,城区规划呈现规则的矩形街区路网结构,区内分布有大量科研院所(如武汉大学、中科院武汉分院)和省级行政机关。调查显示,武昌区实体餐饮店铺高度集中在楚河汉街等商业中心及大型公共设施(如洪山体育馆)周边;超过 60% 的外卖店铺分布在人群密度中等、租金较低的街道。2018—2023 年,武昌区外卖订单量年均增长 20%,部分传统餐饮店向城市外围转移,同时依托黄鹤楼、武昌起义纪念馆等文化地标,开发“武昌鱼非遗宴”“首义主题快餐”等产品,推动文化赋能传统餐饮业转型。图 9 示意武昌区餐饮业分布。

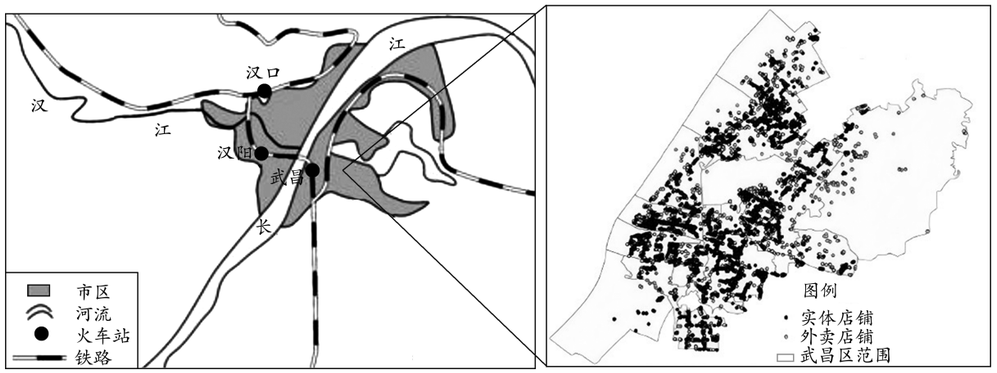


图 9

(1)分析武昌区外卖餐饮业快速发展的原因。(8 分)

(2)推测智能配送技术普及后武昌区外卖店铺和实体店铺空间布局的演化趋势。(4 分)

(3)从地域文化视角提出促进武昌区传统餐饮业转型升级的措施。(8 分)